

نقش سنتی گرافی در تشخیص همانزیوم کاورنوس کبد (HCH)

دکتر محمد افتخاری، دکتر زهرا شاهی

مؤسسه تحقیقات پزشکی هسته‌ای، دانشگاه علوم پزشکی تهران

چکیده

از یک مرد و سه زن که به علت بیماریهای طبی مورد بررسی قرار گرفته و بدون علامت بیماریهای کبد بودند، سونوگرافی احتمال همانزیوم را مطرح نمود. در مراحل بعدی CT اسکن با یا بدون ماده حاجب (جز یک مورد)، اسکن سولفورکولونید کبد و طحال و اسکن پلاتار TC-99m-labeled RBC انجام گرفت. در هیج یک MRI انجام نشد.

براساس معیار تشخیصی همانزیوم در اسکن TC-99m-RBC ضایعات با اندازه‌های ۹۱ تا ۲۶ میلی‌متر تشخیص داده شده و یک ضایعه ۹ میلی‌متری دیده نشد. نتیجه این بررسی نشان می‌دهد که اسکن TC-99m-RBC ابزار تشخیصی ارزشمند در افتراق همانزیوم از دیگر علل توده‌های کبدی است.

مقدمه

فضاهای بزرگ پرخون با دیواره نازک می‌باشد که به وسیله اپی‌تلیوم مسطح پوشیده شده و توسط دیواره‌های فیبروزی ازهم جدامی شوند. (۱)

HCH بیماری خوش‌خیم و شایعی بوده و تشخیص افتراقی مهم با کانسرهای اولیه یا متاستاتیک کبد داشته، بیوپسی آن خط‌آفرین و در موارد بدون علامت درمانی برای آن انجام نمی‌گردد. بنابراین استفاده مناسب از تکنیک‌های رادیولوژی و سنتی‌گرافی مانع از صرف هزینه زیاد و احیاناً خط‌راتی برای بیمار می‌گردد.

روش و مواد

در چهار بیمار مورد نظر متدهای *in-vitro* برای تهیه TC-99m-labeled RBC، استفاده شد. سپس با استفاده از دوربین گامای Large field of view از ناحیه شکم تصاویر دینامیک با سکانس سریع به مدت ۲ دقیقه و بعد از آن تصاویر blood pool هر ۵ دقیقه تا ۳۰ دقیقه و سپس به فواصل ۱۵ دقیقه تا ۱/۵ ساعت انجام گرفت.

همانزیوم کاورنوس کبد (HCH) شایعترین تومور خوش‌خیم کبد با شیوع $7/3$ درصد در جمعیت براساس یافته‌های اتوپسی و دومین تومور شایع کبد پس از متاستاز می‌باشد.

ضایعات همانزیوم اغلب به طور تصادفی طی بررسی‌های سونوگرافی، CT اسکن، اسکن رادیونوکلئید یا طی لایپراتومی و اتوپسی کشف می‌شوند. این تومور در همه‌گروههای سنی دیده می‌شود. ۸۰ تا ۸۶ درصد موارد در خانمها دیده شده که به نظر می‌رسد استروزن در رشد تومور نقشی داشته باشد. این ضایعات اغلب منفرد و در ۱۱ تا ۳۳ درصد موارد متعدد می‌باشند. اکثریت بیماران بدون علامت و تست‌های فونکسیون کبد طبیعی است. بیماران با همانزیوم ژانت (اندازه بیش از ۴ سانتی‌متر) ممکن است علائمی از قبل احساس پری در شکم، درد شکم و کاهش وزن نشان دهند.

مرگ و میر به علت خونریزی، انفارکت، نکروز و بندرت پارگی تومور روی می‌دهد. از نظر پاتولوژی HCH شامل

نتایج

دینکت موردنظر را در ۳۰ دقیقه نشان داد. تست‌های فونکسیون کبد نرمال بود. براساس مجموع یافته‌های بدست آمده تشخیص همانژیوم کبد منطقی به نظر می‌رسید و اقدام درمانی از این جهت انجام نگرفت. (شکل ۲)

(۳) زنی ۴۱ ساله مورد شناخته شده SLE و با شکایت درد قسمت فوقانی چپ شکم مراجعه نمود. بیمار علامت یا سابقه بیماری کبد نداشت. سونوگرافی یک ناحیه هیپراکو به ابعاد 39×39 میلی‌متر در سگمان خلفی لوب راست کبد را نشان داده و تشخیص مشکوک همانژیوم را مطرح کرد. رانشان داده CT اسکن با کنتراست یک توده هیپومنوس با حدود گردید. تست‌های فونکسیون کبد و کارسینو اسبریونیک آنتی‌زن طبیعی بود. در اندوسکوپی و بیوپسی مخاط معده، گاستریت مزمن مشاهده گردید و در اسکن سولفورکولوئید دینکت در قسمت میانی سطح تحتانی کبد، مشاهده شد. (شکل ۱)

در اسکن TC-99m-RBC، فاز آنژیوگرافی دینکت فوکال و فاز blood pool پرشدن تدریجی دینکت مزبور را در عرض یک ساعت نشان داد. براین اساس همانژیوم کاوفنوس کبد مطرح گردید. همان‌گون باوجود عدم جراحی و پس از گذشت یک سال تغییری در حال عمومی بیمار دیده نشده است.

(۴) زنی ۴۷ ساله بدون سابقه و علائم بیماری کبد و به علت بیماری نرولوژیک تحت سونوگرافی قرار گرفت. در سونوگرافی دو توده هیپرآکو به اندازه‌های 40×42 و 9×9 میلی‌متر در سگمان پوستیور لوب راست کبد گزارش گردید که تشخیص افتراقی مطرح شده متاستاز، گرانولوم و همانژیوم بود. CT اسکن توصیه شد. در اسکن سولفورکولوئید یک توده هیپومنوس در لوب راست کبد دیده شد. اسکن سولفورکولوئید یک دینکت کانونی سرد در لوب راست کبد را نشان داد. اسکن TC-99m-RBC در فاز آنژیوگرافی همان دینکت کانونی و در فاز blood pool پرشدن تدریجی

در اسکن TC-99m-RBC، فاز آنژیوگرافی دینکت فوکال و فاز blood pool پرشدن تدریجی دینکت مزبور را در عرض یک ساعت نشان داد. براین اساس همانژیوم کاوفنوس کبد مطرح گردید. همان‌گون باوجود عدم جراحی و پس از گذشت یک سال تغییری در حال عمومی بیمار دیده نشده است.

(۵) زنی ۵۴ ساله با سابقه دوساله نفخ تدریجی و احساس پری در شکم مراجعه و برای او سونوگرافی انجام شد. در سونوگرافی یک توده هتروژن باحدود لوبولر به ابعاد 77×73 میلی‌متر در لوب چپ کبد و توده دیگری مشابه آن در سگمان خلفی راست به ابعاد 36×35 میلی‌متر دیده شد و تشخیص مشکوک همانژیوم مطرح گردید. اسکن سولفورکولوئید دو توده موردنظر را به صورت نواحی کاوش اکتیویته نشان داد. جهت اثبات همانژیوم اسکن

به صورت دیفکت غیراختصاصی سرد در کبدی که بقیه قسمتها یاش طبیعی است، نمودار می‌شود.

ستئوگرافی TC-99m-RBC اختصاصی‌ترین روش غیر تهابی جهت تشخیص این بیماری است. کاهش اکتیویته در تصاویر دینامیک و افزایش اکتیویته در تصاویر تأخیری اسکن پلاتار حساسیت ۸۹٪، ویژگی ۱۰۰٪ و دقت ۹۵٪ دارد. البته مواردی از HCH گزارش شده که در هر دو فاز دینامیک و تأخیری افزایش اکتیویته یا بر عکس به علت فیبروز وسیع، عدم افزایش اکتیویته مرحله تأخیری را نشان داده‌اند. (۵ و ۶)

در این روش موارد مثبت کاذب گزارش شده که سه مورد کارسینوم هپاتوسولولر، یک مورد آنژیوسارکوم و احتمالاً یک مورد متاستاز هیپرواسکولار بوده‌اند. همانژیوسارکوم از نظر مرفو‌لوزی مشابه همانژیوم می‌باشد بنابراین همان نمای تأخیری را دارد. این نشوپلاسم نادر و عموماً در تشخیص افتراقی با همانژیوم قرارنمی‌گیرد مگراینکه سابقة هموکروماتوز یا تماس مزمون با کلرید وینیل، دی‌اکسید توربیوم، مواد ارسنیکی یا رادیوم وجود داشته باشد. در مورد اهمیت فاز دینامیک در تشخیص افتراقی همانژیوم از سایر ضایعات اختلاف نظر وجود دارد. به‌منظور رد نشوپلاسم عروقی یا کارسینوم هپاتوسولولر از perfusion/Blood pool mismatch استفاده می‌شود که در همانژیوم پرفیوژن ضایعه هماندازه یا کمتر از بافت نرمال اطراف است که در تصاویر تأخیری افزایش جذب نشان می‌دهد. استفاده از این معیار، ویژگی بالا و مقداری کاهش حساسیت را به‌همراه دارد چون همانژیوم‌ها ممکن است نسبت به کبد دارای پرفیوژن بیشتری باشند. (۲، ۷ و ۸)

اسکن پلاتار ضایعات بزرگتر از سه سانتی‌متر را نشان می‌دهد به‌همین جهت از روش SPECT در تشخیص ضایعات کوچکتر از این حد و نزدیک کلیه و طحال استفاده می‌شود. البته این روش در تشخیص تومورهای نزدیک

TC-99m-RBC انجام گرفت که در فاز آنژیوگرافی دو توده فوق به صورت نواحی با کاهش اکتیویته و در فاز blood pool پرشدن تدریجی توده‌های مزبور را در عرض ۳۰ دقیقه نشان داد. براساس یافته‌های فوق تشخیص همانژیوم کبد مطرح گردید. (شکل ۴)

بحث

همانظور که قبل از ذکر شد، HCH بیماری شایع، خوش‌خیم و معمولاً بدون علامت بوده و معمولاً به طور اتفاقی بعد از سونوگرافی و یا CT مشاهده می‌گردد و تشخیص افتراقی عده آن با کارسینوم‌های اولیه یا متاستاتیک کبد می‌باشد.

نمای همانژیوم در سونوگرافی اکثراً هیپرآکو با حدود واضح می‌باشد. آدنوم کبد، فوکال ندولر هیپرپلازی، کارسینوم هپاتوسولولر و متاستاز منفرد کبد نیز همین نما را ممکن است نشان دهند. نمای سونوگرافی HCH بزرگ نواحی با اکوژنیستی مختلط را نشان می‌دهد. متغیر بودن ظاهر تومور در این روش به دلیل دز نرسانس، فیبروز، خونریزی یا کلسيفيکاسيون آن می‌باشد. بنابراین سونوگرافی با وجود حساسیت زیاد ولی به دلیل ویژگی کم روش انتخابی برای تشخیص همانژیوم نمی‌باشد. (۲)

در CT اسکن معیار تشخیصی شامل یک ضایعه هیپودنس در تصویر بدون کنترast می‌باشد که بعد از تزریق بولوس کنتراست افزایش دانسته در اطراف ضایعه مشاهده می‌شود و با پرشدن به سمت مرکز که در اسکن تأخیری به صورت ایزو‌دنس یا هیپر‌دنس با بافت مجاور درمی‌آید، این معیارهای تشخیصی همانژیوم بسیار اختصاصی می‌باشند اما تنها ۵۵ تا ۷۹ درصد همانژیوم‌ها را دربرمی‌گیرد. (۳ و ۴)

اسکن سولفورکولوئید کبد در افتراق HCH از سایر ضایعات فضایگیر کبد کمکی نمی‌کند. در این روش، HCH

فیبروتیک همپوشانی دارد. (۱۹) بنابراین MR نایستی جهت تشخیص توده‌های کبد در بیمارانی که ممکن است متاستاز پر عروق داشته باشند، به کار رود. البته MR به راحتی بین متاستاز کولون و همانژیوم کبد افتراق می‌دهد.

آنژیوگرافی Gold Standard تشخیص همانژیوم است ولی به علت هزینه زیاد و تهاجمی بودن آن تکنیک‌های دیگر تصویربرداری مورد استفاده قرار می‌گیرند. آنژیوگرافی اغلب جهت تشخیص موارد مبهم یا ارزیابی‌های قبل از عمل به کار می‌رود.

بیوپسی از راه پوست خطرناک و با افزایش ریسک خونریزی همراه است ولی Fine needle biopsy خطر چندانی نداشته و در افتراق یک بد خیمی از همانژیوم مفیدترین روش است. (۲۲)

خلاصه

تمام مطالب فوق را می‌توان در سه سطح تشخیصی خلاصه نمود.

الف: کشف اتفاقی بوسیله سونوگرافی یا اسکن CT
ب: تشخیص مشکوک همانژیوم توسط سونوگرافی یا اسکن که جهت تأیید تشخیص از روش‌های

ذیل می‌توان کمک گرفت:

(۱) اسکن پلاتار با TC-99m-RBC در ضایعات بزرگتر از سه سانتی متر.

(۲) TC-99m-RBC Single head SPECT در ضایعات بیش از دو سانتی متر و نزدیک کلیه و طحال.

(۳) متاستاز مفید باشد و این تئوری پیشنهاد شده که محاسبات T2 بسیار آسانتر از تصاویر MR تفسیر می‌شوند که عمدتاً به علت حذف اطلاعات T1 و آرتیفیکت حرکتی می‌باشد.

(۴) مقادیر شدت سیگنال T2 در همانژیوم بیش از متاستاز می‌باشد. البته تصاویر T2 متاستازهای هیپرواسکولار (اندوکرینی مانند dislet cell tumor تو默 کارسینوئید،

فثورکرومیتوم و غیراندوکرینی مانند کارسینوم کلیه) نسبتاً بالا و اغلب با مقادیر نسبتاً کم در همانژیوم

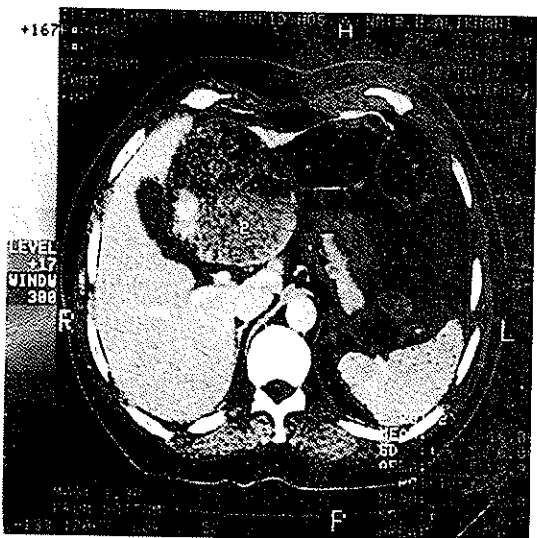
عروق اصلی داخل کبد و نزدیک قلب چار مشکل می‌شود. این نقص با استفاده از Multiheaded system که قادر به تشخیص ضایعات به کوچکی ۰/۵ سانتی متر نیز می‌باشد، رفع گردیده است. این سیستم‌ها تومورهای ۱/۴ سانتی متری را با دقت ۱۰۰ درصد تشخیص داده و با کاربرد تکنیک‌های فیوزن تشخیص ضایعات نزدیک عروق بزرگ و قلب آسان می‌گردد. (۹-۱۴)

(۱۵) MRI در تشخیص HCH روشی دقیق، بسیار خطر و لی گران است. در این روش همانژیوم به صورت افزایش شدت سیگنال در تصاویر T2-weighted نمایان می‌شود.

(۱۶) یافته‌های دیگری چون حدود لوپولر و تجمع محیطی ممکن است در تشخیص HCH با MRI مفید باشند. (۱۷) همانژیوم‌های بزرگتر از ۴ سانتی متر اشکال غیرمعمول چون حدود نامنظم یا ساختار داخلی غیریکنواخت را نشان می‌دهند. (۱۸) حساسیت و ویژگی TC-99m-RBC SPECT و MRI در ضایعات بیش از دو سانتی متر مشابه و در این موارد به علت گرانی MRI SPECT متد انتخابی تشخیصی می‌باشد. البته حساسیت MRI در تشخیص تومورهای کوچکتر از ۲-۵ سانتی متر بیش از Single head SPECT می‌باشد.

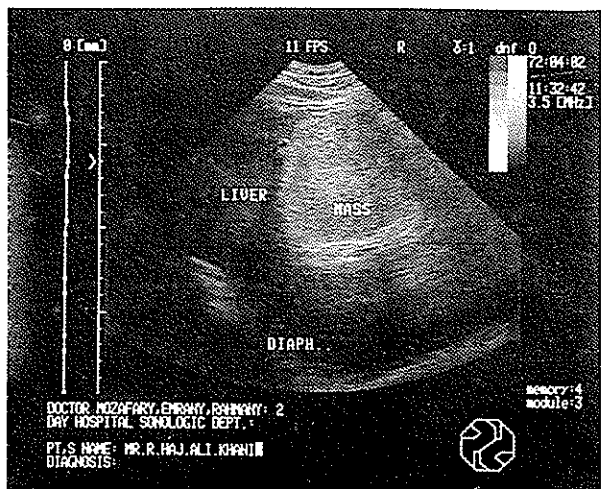
(۱۹) بررسی ابتدایی با روش Ultra fast MR نشان داد که محاسبات T2 ممکن است جهت افتراق همانژیوم از متاستاز مفید باشد و این تئوری پیشنهاد شده که محاسبات T2 بسیار آسانتر از تصاویر MR تفسیر می‌شوند که عمدتاً مقادیر شدت سیگنال T2 در همانژیوم بیش از متاستاز می‌باشد. البته تصاویر T2 متاستازهای هیپرواسکولار (اندوکرینی مانند dislet cell tumor تو默 کارسینوئید، فثورکرومیتوم و غیراندوکرینی مانند کارسینوم کلیه) نسبتاً بالا و اغلب با مقادیر نسبتاً کم در همانژیوم

روش‌های بالا تشخیص همانژیوم قطعی نگردیده است. آنژیوگرافی خممنا در مواردی که بیمار کاندید جراحی می‌باشد جنبت بررسی‌های قبل از عمل به کار می‌رود.



شکل (۱)-ب

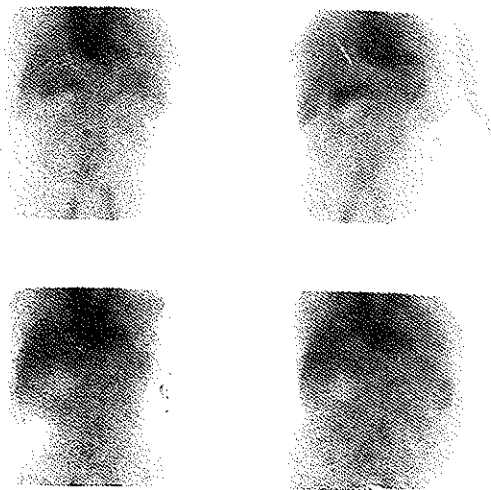
قلب که این بیماران تومور اولیه موجود متأسیاز هیپرواسکولار نداشته باشند. همچنین در کل مواردی که افزایش پرفیوژن در SPECT نشان داده شده است، ج: آنژیوگرافی و Fine needle biopsy در مواردی که با



شکل (۱)-الف

شکل (۱)-د، * آنژیوگرافی

شکل (۱)-ج



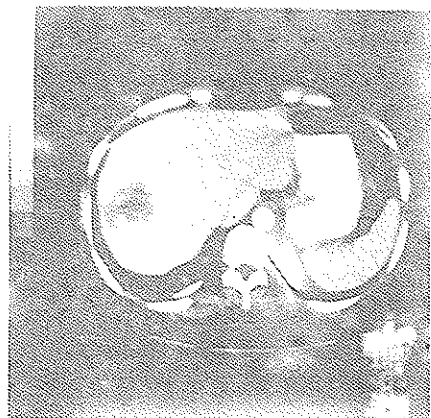
شکل (۱)-ا، د، ب، ج

الف - سونوگرافی یک توده هیپرآکورا در ناحیه لوب کودیت کبد نشان می‌دهد.

ب - CT اسکن با کنترast که یک توده هیپو دنس در لوب کودیت کبد را نشان می‌دهد.

ج - در اسکن سولفورکولوئید یک توده فضای گیر سرد در ناحیه لوب کودیت کبد دیده می‌شود.

د - اسکن RBC ^{99m}Tc -labeled *فاز آنژیوگرافی توده فضای گیر سرد را در ناحیه لوب کودیت شده نشان می‌دهد. **فاز blood pool پرشدن تدریجی توده مزبور را تا نماهای تأخیری نشان می‌دهد.



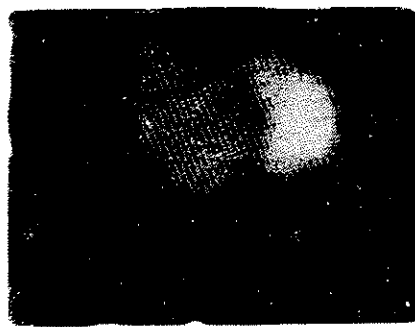
شکل (۲)-الف

شکل (۲)-ب، *آنژیوگرافی

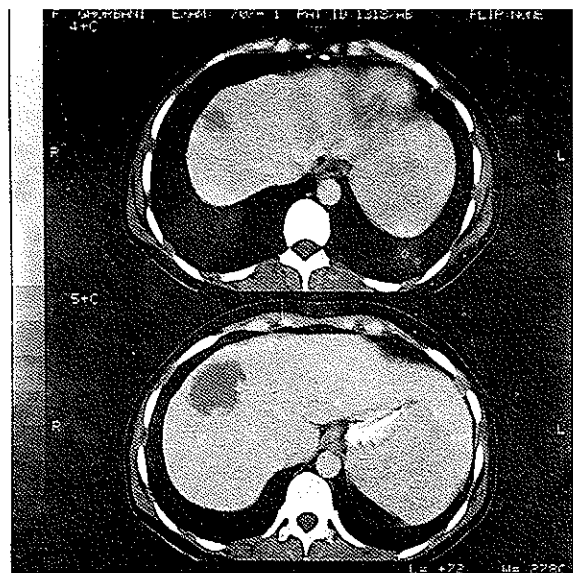


شکل (۲)-ب، **blood pool

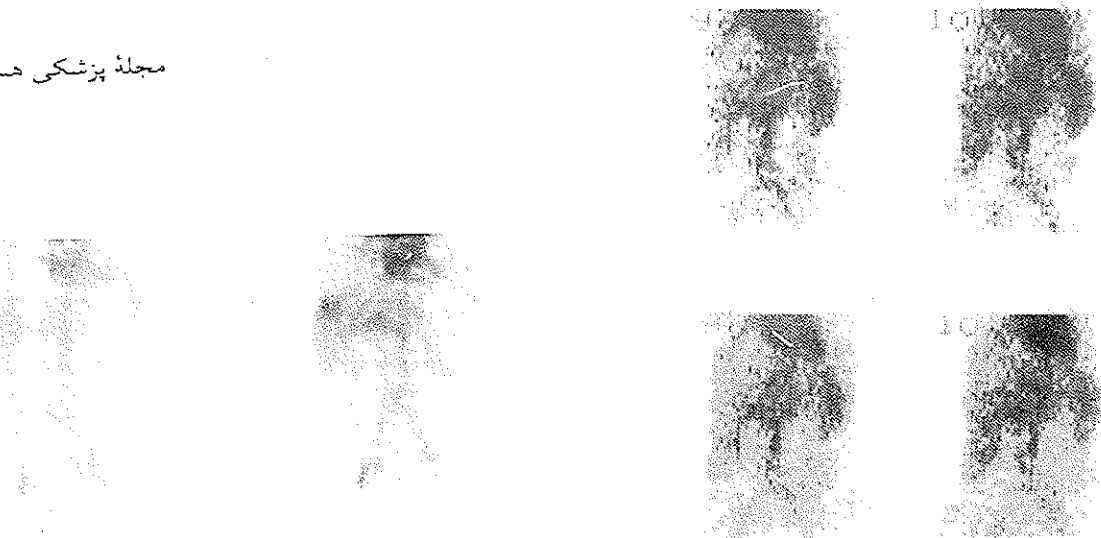
الف - در CT اسکن بدون کنتراست یک تودهٔ هیپو دنس در لوب راست کبد دیده می‌شود.
ب - اسکن RBC ^{99m}Tc-labeled آنژیوگرافی همان ناحیه کانزی سرد را نشان می‌دهد. ***فاز blood pool پرشدن تدریجی تودهٔ فوق را نشان می‌دهد.



شکل (۳)-ب



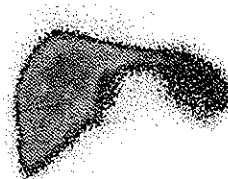
شکل (۳)-الف



شکل (۳)-ج، آنژیوگرافی ^{**blood pool}

شکل (۳)-ج، آنژیوگرافی

- الف - CT اسکن یک توده هیپودنس را در لوب راست کبد نشان می‌دهد.
- ب - در اسکن سولفورکولوئید توده مزبور به صورت یک ناحیه سرد دیده می‌شود.
- ج - اسکن ^{*Tc-99m}-labeled RBC فاز آنژیوگرافی توده مذکور را به صورت یک ناحیه کاملاً اکتیویته نشان می‌دهد. ^{**}فاز blood pool پرشدن تدریجی توده موردنظر را نشان می‌دهد.

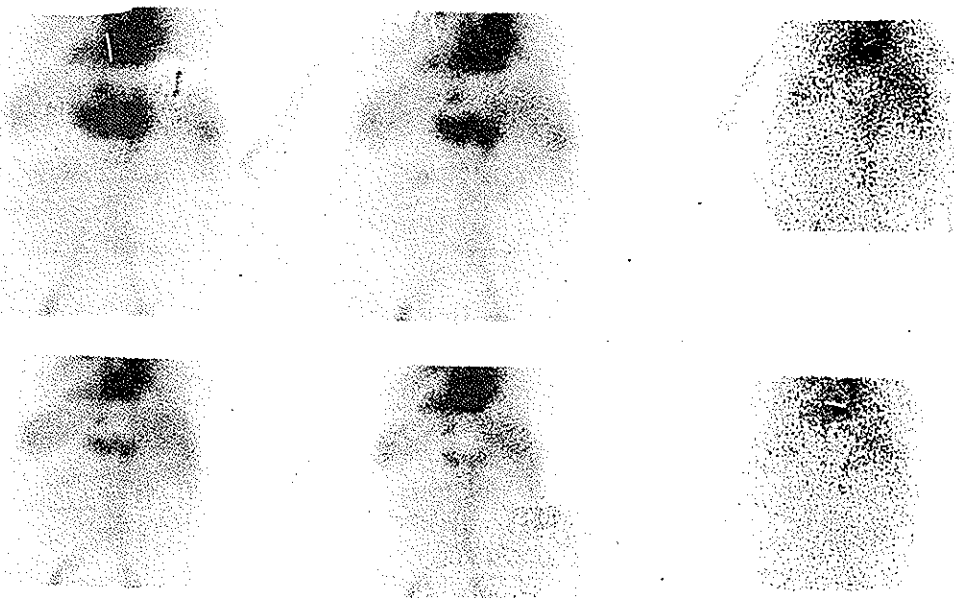


ANT



RPO

شکل (۴)-ب



شکل (۴) ب **blood poll

شکل (۴) ب *آنژیوگرافی

ج - اسکن ^{99m}Tc -labeled RBC در فاز آنژیوگرافی دو توده فوق به صورت نواحی سرد دیده می‌شوند. **در فاز blood pool پرشدن تدریجی دو توده مورد نظر دیده می‌شود.

REFERENCES

- 1) Raymond A. Rubin and Gray R. lichtenstein. Scintigraphic Evaluation of liver Masses: Cavernous Hepatic Hemangioma. J Nucl Med 1993; 34: 849-852.
- 2) Brinbaum BA, Weinreb JC, Megibow AJ, et al. Definitive diagnosis of hepatic hemangiomas: MR imaging versus TC-99m-labeled-red blood cell SPECT. Radiology 1990; 1776: 95-101.
- 3) Freeny PC, Marks WM. Hepatic hemangioma: dynamic brous CT. AJR. 1986; 147: 711-719.
- 4) Andrew M. Scott, MB BS, FRACP, and Steven M. Larson, MD. Tumor imaging and therapy: hepatic hemangioma. Radiologic clinic of North America 1993; 31: 868.
- 5) Brant WE, Floyd JL, Jackson DE, et al. The radiological evaluation of hepatic hemangioma. JAMA 1987; 257: 2471-2474.
- 6) Larcos G, Farlow DC, Grunewald SM, et al.

- Atypical appearance of a hepatic hemangioma with technetium-99m-red blood cell Scintigraphy. J Nucl Med 1989; 30: 1885-1888.
- 7) Drane WE. Mcclear Medicine techniques for the liver and biliary system. Radiol Clin North AM 1991; 29: 1129-1151.
- 8) Ginsberg F, Slavin JD, Spencer RP. Hepatic angiosarcoma: mimiking of hemangioma on three phase technetium-99m-red blood cell Scintigraphy. J Nucl Med 1986; 27: 1861-1863.
- 9) Brodsky RI, Friedman AC, Maurer AH, et al. Hepatic Cavernous hemangioma: diagnosis with Tc-99m-labeled-red-blood cells and SPECT. AJR 1987; 148: 125-129.
- 10) Tumeh SS, Benson C, Nagel JS, et al. Cavernous hemangioma of the liver: detection with single photon emission computed tomography. Radiology 1987; 164: 353-356.
- 11) Intenzo C, Kim S, Madsen M, et al. Planar and SPECT TC-99m-red blood cell imaging in hepatic cavernous hemangiomas and other hepatic lesions. Clin Nucl Med 1988; 13: 237-240.
- 12) Malik MH. Blood Pool SPECT and planar imaging in hepatic hemangioma. Clin Nucl Med 1987; 12: 543-547.
- 13) Zeissman HA, Silverman PM, Patterson J, et al. Improved detection of small cavernous hemangiomas of the liver with high resolution threeheaded SPECT. J Nucl Med 1991; 32: 2086-2091.
- 14) Robinowitz SA, McKusick KA, Strauss HW. Technetium-99m-red blood cell Scintigraphy in evaluating focal liver lesions. ATR. 1984; 143: 63-68.
- 15) Stark DD, Felder FC, Witten berg J, et al. Magnetic resonance imaging of cavernous hemangioma a of the liver. AJR 1985; 145: 213-222.
- 16) Sigal R, Lanier A, Atlan H, et al. Nuclear magnetic resonance imaging of liver hemangiomas. J Nucl Med 1985; 26: 1117-1123.
- 17) Ros PR, Lubbers PR, Olmsted WW, et al. Hemangioma of the liver: heterogenous appearance on T2-weighted images. AJR 1987; 149: 1167-1170.
- 18) Likc, Glazer GM, Quint LE, et al. Distinction of hepatic cavernous hemangioma from hepatic metastasis with MR imaging. Radiology 1988; 169: 409-415.
- 19) Goldberg MA, Saini S, Hah" PF, et al. Differentiation between hemangiomas and metastasis of the liver with ultrafast MR imaging: preliminary results with T2 calculations. AJR 1991; 157: 727-730.
- 20) Hamm B, Fischer E, Taupitz M. Differentiation of hepatic hemangiomas from metastasis by dynamic contrast-enhanced MR imaging. J Comput Assist Tomog 1990; 24: 205-216.
- 21) Choi BI, Han MC, Kim C. Small hepatocellular carcinoma versus small cavernous hemangioma: differentiation with MR imaging at 2.0 T. Radiology 1990; 176: 103-106.
- 22) Solbiati L, Libraghi T, Depra L, et al. Fine-needle biopsy of hepatic hemangioma with sonographic guidance. AJR 1985; 144: 471-474.